

# Análisis de Datos para Ciberseguridad: Trabajo práctico 2

Alonso Araya Calvo

Pedro Soto

Sofia Oviedo

Instituto Tecnológico de Costa Rica,  
Escuela de Ingeniería en Computación,  
Programa de Maestría en Ciberseguridad

14 de setiembre de 2025

Escribir la introduccion aqui al final de escribir todo el trabajo...

## 1. Implementacion de un arbol de decision y random forests para clasificar todos los tipos de ataques

En esta sección se desarrolló la implementación de un árbol de decisión y un random forest para clasificar todos los tipos de ataques encontrados en el dataset KDD99.

Para este efecto se utilizó la librería Scikit Learn que contiene la funcionalidad necesaria para entrenar estos modelos sin tener que implementarlos desde cero. Asimismo, se utilizó la librería Optuna que permite optimizar los hiperparámetros de los modelos fácilmente.

En las siguientes subsecciones se detallan los resultados obtenidos y los pasos realizados para generar estos modelos.

### 1.1. Generación de las particiones del dataset

Para poder particionar el set de datos correctamente se desarrollo una función llamada 'split\_dataset' que se encarga de partir el dataset en tres conjuntos: entrenamiento, validación y prueba.

Para ello se utiliza la función 'train\_test\_split' de Scikit Learn que permite particionar el dataset en dos conjuntos: entrenamiento y prueba. Despues se utiliza la función 'train\_test\_split' de Scikit Learn nuevamente para particionar el conjunto de entrenamiento en dos conjuntos: entrenamiento y validación, por medio del calculo del tamaño de la validación respecto al conjunto restante.

También se utilizó la estratificación para poder garantizar que la distribución de las clases en cada conjunto sea la misma que en el conjunto completo y la habilidad de poder enviar por parametro una semilla para reproducir los resultados.

Esta función 'split\_dataset' recibe ciertos parametros que son:

- df: DataFrame de pandas con los datos del dataset
- target\_column: Nombre de la columna de las clases en string
- test\_size: Proporción numerica del conjunto de prueba
- val\_size: Proporción numerica del conjunto de validación
- random\_state: Seed para poder reproducir los resultados si se desea

Y lo que finalmente retorna es una tupla con todas las particiones del dataset con la forma (X\_train, X\_val, X\_test, y\_train, y\_val, y\_test).

Esta salida significa:

- X\_train: DataFrame con las características de entrenamiento
- X\_val: DataFrame con las características de validación
- X\_test: DataFrame con las características de prueba
- y\_train: Series con las clases de entrenamiento
- y\_val: Series con las clases de validación
- y\_test: Series con las clases de prueba

El tamaño de cada conjunto se muestra en el Cuadro 1, mostrado a continuación:

Conjunto	Tamaño	Porcentaje
Completo	145586	100 %
Entrenamiento	101910	70 %
Validación	21838	15 %
Prueba	21838	15 %

Cuadro 1: Tamaño del conjunto y particiones de entrenamiento, validación y prueba.

Como se muestra en el Cuadro 1, el conjunto fue particionado correctamente, cumpliendo con el porcentaje esperado.

Para que las particiones fueran uniformes, se utilizó la estratificación para poder garantizar la distribución uniforme de las clases.

Como es posible observar en el Cuadro 2, la distribución de clases de manera uniforme hace que se pueda validar de una mejor manera los modelos, ya que se puede ayudar a que el modelo no se entrene con una inclinación injustificada hacia cierto ataque y los splits sean más justos para evaluar el modelo en todas sus clases.

Clase	Completo	Entrenamiento	Validación	Prueba
back.	0.006649	0.006653	0.006640	0.006640
buffer_overflow.	0.000206	0.000206	0.000183	0.000229
ftp_write.	0.000055	0.000059	0.000046	0.000046
guess_passwd.	0.000364	0.000363	0.000366	0.000366
imap.	0.000082	0.000079	0.000092	0.000092
ipsweep.	0.004472	0.004465	0.004488	0.004488
land.	0.000131	0.000128	0.000137	0.000137
loadmodule.	0.000062	0.000069	0.000046	0.000046
multihop.	0.000048	0.000049	0.000046	0.000046
neptune.	0.355941	0.355942	0.355939	0.355939
nmap.	0.001085	0.001079	0.001099	0.001099
normal.	0.603300	0.603297	0.603306	0.603306
perl.	0.000021	0.000020	0.000046	0.000000
phf.	0.000027	0.000029	0.000000	0.000046
pod.	0.001415	0.001413	0.001420	0.001420
portsweep.	0.002857	0.002865	0.002839	0.002839
rootkit.	0.000069	0.000069	0.000092	0.000046
satan.	0.006223	0.006221	0.006228	0.006228
smurf.	0.004403	0.004406	0.004396	0.004396
spy.	0.000014	0.000020	0.000000	0.000000
teardrop.	0.006306	0.006300	0.006319	0.006319
warezclient.	0.006134	0.006133	0.006136	0.006136
warezmaster.	0.000137	0.000137	0.000137	0.000137

Cuadro 2: Distribución de clases en los conjuntos: completo, entrenamiento, validación y prueba.

## 1.2. Entrenamiento, Optimización y Evaluación del Árbol de Decisión

### 1.2.1. Optimización de Hiperparámetros con Optuna

Como parte del trabajo se realizó la optimización de varios hiperparámetros para el árbol de decisión implementado con Scikit Learn. Para este efecto se utilizó la librería Optuna en la cual se optimizaron los parámetros necesarios de la función 'DecisionTreeClassifier' en un estudio de 100 pruebas de optimización, se entrenó con la partición de entrenamiento y se evaluó las predicciones con la partición de validación utilizando como resultado el F1-Score promedio macro en base a la predicción con el conjunto de validación.

Para ello se creó la función 'optimize\_decision\_tree' que se encarga de recibir por parámetro un objeto de estudio de Optuna por medio de la función 'create\_study' y dentro de la función de optimización se definen los rangos de los parámetros a optimizar, se define la función de árbol de decisión de Scikit Learn y se entrena con la partición de entrenamiento y se evalúa con la partición de validación por medio de las funciones 'predict', 'fit' y para generar la puntuación se utilizó 'f1\_score' de Scikit

Learn que tambien es utilizada como salida de la funcion de optimizacion.  
Se optimizaron los siguientes hiperparametros:

- Profundidad maxima del arbol (max\_depth)
- Cantidad minima de observaciones por particion (min\_samples\_split)
- Cantidad minima de observaciones por hoja (min\_samples\_leaf)
- Criterio de pureza (criterion)

Para el parametro de profundidad maxima del arbol se optimizo el valor en un rango de 3 a 20. Este rango se escogio debido a las siguientes razones encontradas [8, 7, 2]:

- Valores muy bajos podrian causar que el arbol no capturen los patrones del dataset correctamente y no genere un buen resultado, por lo que empezar con 3 es un buen valor inicial.
- Valores muy altos podrian permitir que el arbol se sobreajuste y no generalice bien, por lo que 20 es un valor optimo.
- El valor limite de 20 es suficiente ya que mas profundidad no se observa que mejoren el resultado y seria un desperdicio de computo.
- El dataset tiene clases desbalanceadas, por lo que profundidades muy altas podrian crear una inclinacion hacia estas clases grandes.

En cuanto al parametro de cantidad minima de observaciones por particion se optimizo el valor en un rango de 2 a 50. Las consideraciones fueron [5, 4]:

- Los balores muy bajos como 2 podrian generar que el arbol se divida excesivamente y que se ajusta al ruido del dataset.
- Se deja el limite en 50 dado que valores bajos dan paso a mas varianza y posibles sobreajustes, mientras que los valores altos podrian permitir una mejor generalizacion, sin llegar al exceso que el arbol casi no se divida.
- El rango de de 2 a 50 es lo suficientemente moderado para poder generar splits con buen soporte, pero tampoco tan pequeño como para que se generen splits debiles como serian con un valor bajo, evitando un arbol muy simple o especifico.

En el caso de la cantidad minima de observaciones por hoja se optimizo el valor en un rango de 1 a 25. Los puntos a tomar fueron [3, 9]:

- Valores bajos pueden crear hojas con muy pocos ejemplos, dando paso a que se sobreajuste a cierto patrones especificos del dataset.
- Los valores altos podrian dar paso a poder generalizar mejor, ya que contiene un numero mas alto de muestras, reduciendo la varianza y posiblemente evitando el sobreajuste.

- Si se obtienen hojas con mas datos es posible que los patrones aprendidos sean mas estables.
- El valor limite de 25 permite suficientes hojas y reducir los nodos del arbol que podria mantener el arbol mas pequeño y eficiente.

Por ultimo, se optimizo el criterio de pureza en un rango de 'gini' y 'entropy'. El criterio para este rango fue [6, 1]:

- Se utiliza solo gini o entropy y no se incluye 'log\_loss' debido a que es mas costoso computacionalmente y puede no dar una mejora significativa en contraste con los otros dos.
- Se incluye gini ya que es un algoritmo robusto y rapido computacionalmente.
- En el caso de entropy este es un poco mas costoso que gini dado a que realiza el calculo de logaritmos, pero puede llegar a ser un poco mas preciso.

Para poder ejecutar esta función se creo un estudio de Optuna con la direccion de maximizar la funcion objetivo, en este caso al escogerse como metrica el F1-Score promedio macro se busco mejorar esta puntuacion en todos los estudios.

Se realizaron 100 pruebas de Optuna, suficientes para poder encontrar las mejores tres arquitecturas en un tiempo adecuado, su duracion de ejecucion en Google Colab fue de alrededor de un poco mas de dos minutos, mayores numeros de pruebas realmente no lo mejoraron significativamente por lo que no se justifica la computacion y tiempo mayor de estudio.

Se utilizo la metrica a maximizar lo que es el F1-Score macro, debido a que el dataset KDD99 tiene clases desbalanceadas, por lo que esta metrica permite dar importancia a todas las clases y no solo a algunas que son muy representativas en este conjunto. Otras metricas como el accuracy podrian creer que es un buen modelo para cierto tipo de ataques pero podria estar sesgado y otras clases podrian no ser detectadas correctamente con un rendimiento pobre.

**Resultados y Demostración del Proceso de Optimizacion** Para documentar el proceso de optimizacion se generaron distintos graficos y tablas que permiten observar la evolucion de cada estudio realizado y la evolucion de los parametros, en especial de la metrica maximizada que fue el F1-Score, estos graficos fueron provistos por la libreria Optuna por medio de su modulo `optuna.visualization`.

Los datos de los resultados finales se muestran en el Cuadro 3, 4 y 5, mostrado a continuación:

Métrica	Valor
Número total de trials	100
Mejor F1-macro	0.8092

Cuadro 3: Resumen de la optimización con Optuna

En el Cuadro 3 se observa como para 100 corridas de Optuna se obtuvo un mejor F1-Score de 0.8092, siendo este un buen resultado al ser cercano al 1. Ejecuciones mas

largas mostraron resultados similares por lo que se justifica el uso de 100 corridas para ahorrar computo y tiempo.

Hiperparámetro	Valor
max_depth	17
min_samples_split	7
min_samples_leaf	1
criterion	gini

Cuadro 4: Mejores hiperparámetros (según el mejor F1-macro)

En el Cuadro 4 podemos determinar que los rangos utilizados para los parametros tienen sentido, dado que finalmente el max\_depth se obtuvo un valor de 17, siendo este un valor alto pero no llegando al limite de 20. El min\_samples\_split se obtuvo un valor de 7, siendo este un valor medio en el rango utilizado. El min\_samples\_leaf se obtuvo un valor de 1 utilizando el minimo valor del rango. El criterion finalmente se utilizo gini como el mejor criterio, siendo este rapido y adecuado para la tarea.

Arquitectura	F1-macro	max_depth	min_samples_split	min_samples_leaf	criterion
1	0.8092	17	7	1	gini
2	0.7877	13	11	1	gini
3	0.7877	13	11	1	gini

Cuadro 5: Tres mejores arquitecturas encontradas

En el Cuadro 5 se muestran las tres mejores arquitecturas para el estudio realizado. Se observa que el criterio de gini es el mas determinante para este problema, asi como el min\_samples\_leaf con su valor de 1. Ademas se observa que el valor de max\_depth y min\_samples\_split son similares pero tienden a variar un poco entre los modelos.

Métrica	Valor
F1-score promedio	0.6495
Desviación estándar	0.0975
F1-score mínimo	0.2717
F1-score máximo	0.8092

Cuadro 6: Estadísticas de la optimización

En cuanto al Cuadro 6 se muestran las estadísticas de la optimización en cuando al F1-Score. Donde se observa su promedio, desviación estándar, mínimo y máximo, siendo el máximo el mejor valor encontrado.

Para mostrar los resultados de la evolución de la optimización se generaron distintos gráficos mostrados en la Figuras 1, 2, 3 y 4, que serían la historia de optimización del F1-Score, importancia de los hiperparámetros, relaciones entre parámetros, distribuciones de los valores objetivo y una comparación de las tres mejores arquitecturas por F1-Score.

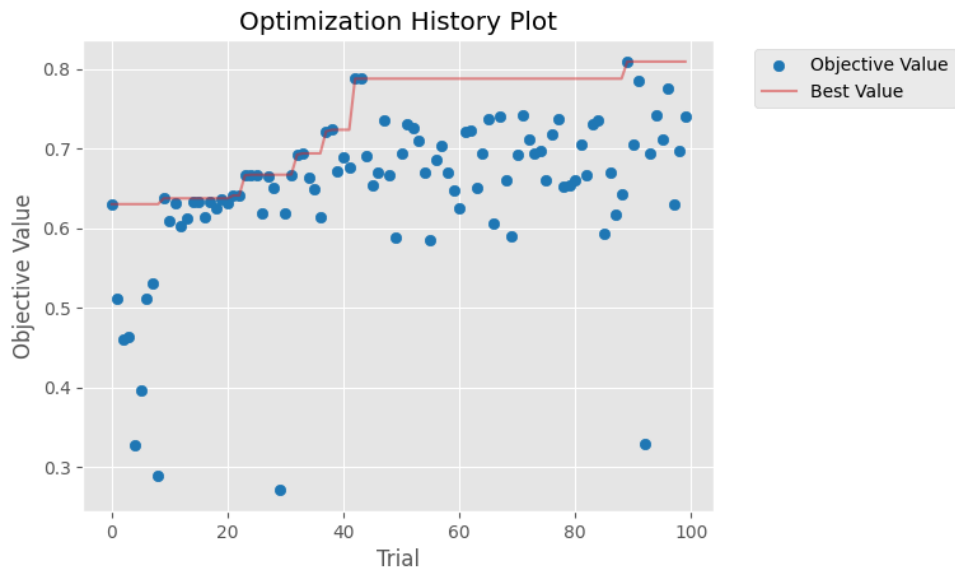


Figura 1: Historia de optimizacion del F1-Score

En la Figura 1 se explica la evolucion de la metrica objetivo que fue el F1-Score a lo largo de las 100 corridas. Se puede apreciar la tendencia a la alza de la mejor puntuacion pero tambien se observa las variaciones en el la metrica de forma muy dispersa a lo largo de las pruebas. La mejor puntuacion fue encontrada en la corrida 89, la cual fue la que genero el mejor F1-Score de 0.8092, las otras dos mejores fueron encontradas alrededor de las pruebas entre 40 y 50.

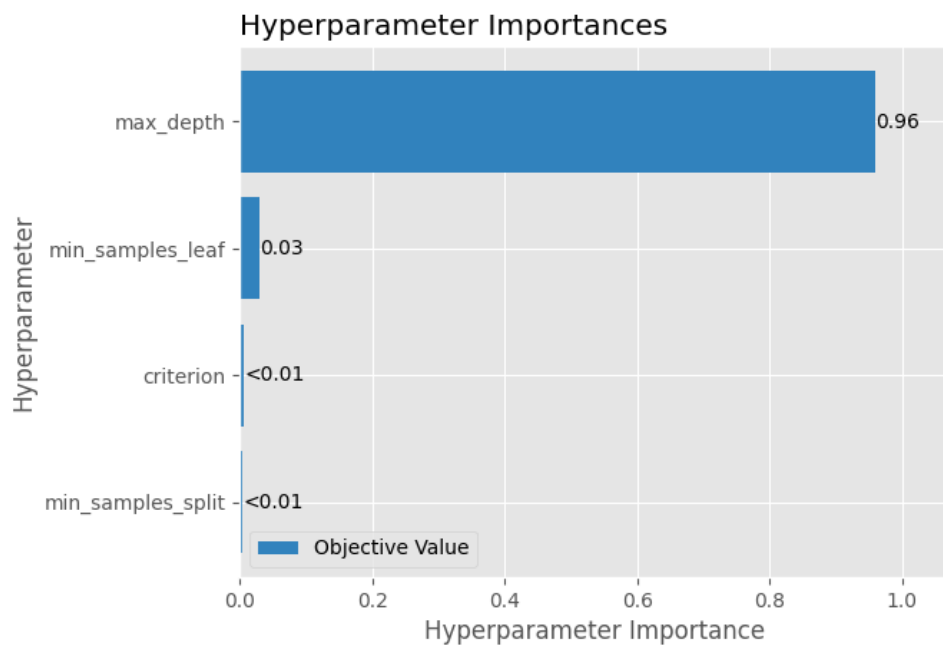


Figura 2: Importancia de los hiperparametros

En la Figura 2 se retrata cuales fueron los hiperparametros que tuvieron mas incidencia para contribuir con la mejora de la metrica objetivo. En este caso como podemos

observar la profundidad maxima tiene una importancia mucho mas grande que las demas. En este orden se dice que el parametro mas importante es el max\_depth, seguido por el min\_samples\_leaf, el min\_samples\_split y el criterion.

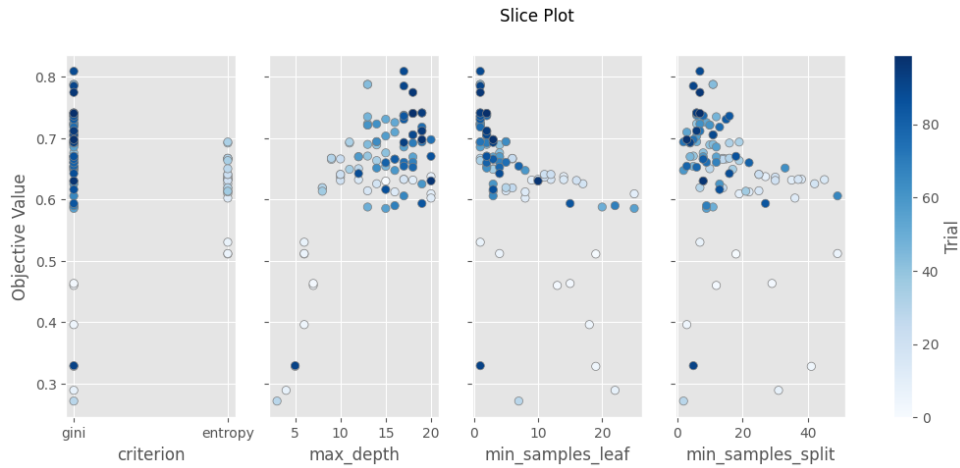


Figura 3: Relaciones entre hiperparametros y la metrica objetivo

En la Figura 3 se muestran como los hiperparametros optimizados interactuan entre si para generar el mejor F1-Score. En esta grafica podemos ver la tendencia de cada uno de los parametros a cambiar su valor dentro del rango utilizado lo largo de las pruebas. Se puede observar como alguna de estas tienden a quedarse en cierto grupo de valores, en el caso de Gini, se ve como se utiliza mas que el valor de Entropy, asi como min\_samples\_leaf y min\_samples\_split tienden a quedarse en valores del lado medio-bajo y finalmente el max\_depth tiende a utilizar valores altos.

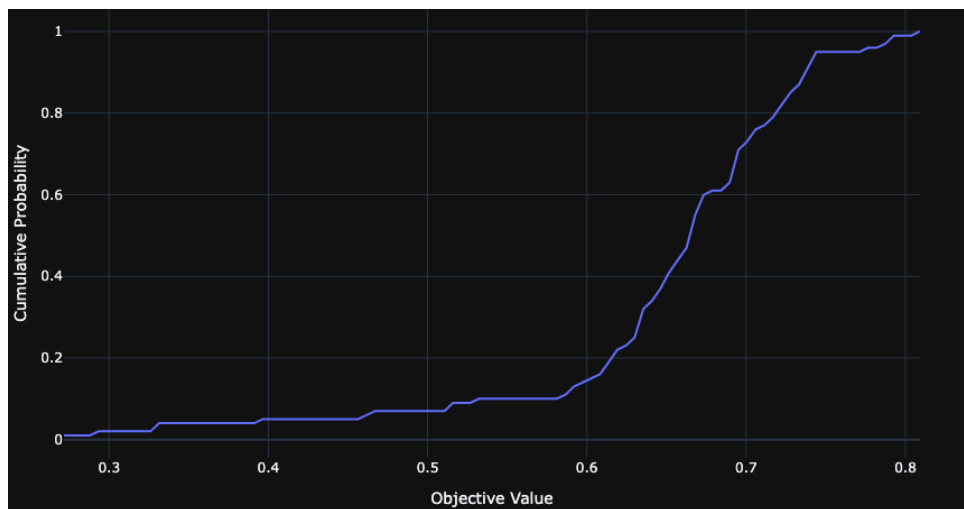


Figura 4: Distribucion del valor objetivo

La Figura 4 es una grafica de distribucion del valor objetivo que fue el F1-Score, se observa que la puntuacion estuvo en un rango entre alrededor de 0.3 y 0.8, siendo el 0.8 el mejor valor encontrado. Ademas de eso se aprecia como la mayoria de pruebas



tuvieron una puntuación entre 0.6 y 0.8, dando como resultado que con Optuna se encontraron buenos resultados en la mayoría de pruebas.

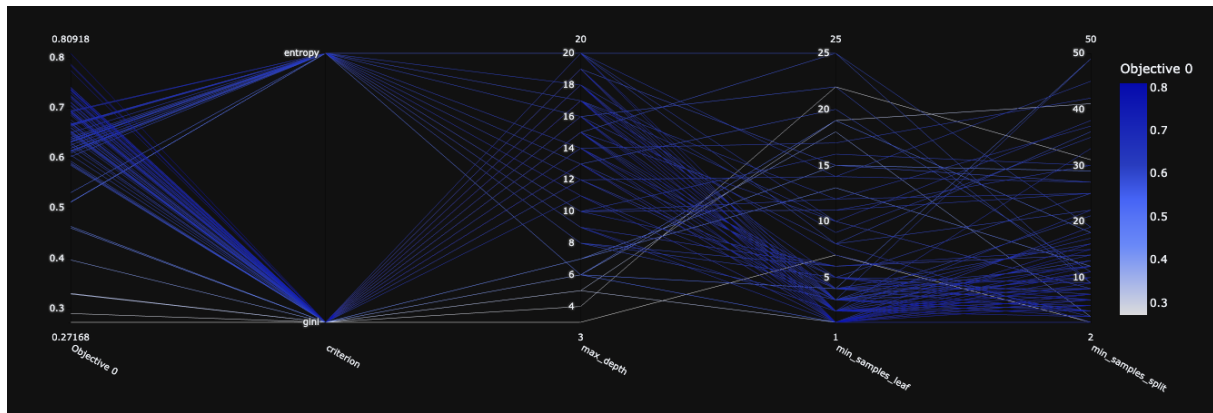


Figura 5: Coordenadas paralelas: relación entre hiperparámetros y F1-macro

En la Figura 5 se observa que las mejores corridas por F1-macro (0.79 - 0.81) se concentran en combinaciones con `max_depth` alto (13 - 17), `min_samples_leaf` de 1, `min_samples_split` (7 - 12) y `criterion` de gini. Esto sugiere que el modelo se beneficia de árboles relativamente profundos con hojas pequeñas, regulados por un umbral de división moderado. Al aumentar `min_samples_leaf` por encima de 1 o al reducir mucho la profundidad, el desempeño tiende a degradarse. Asimismo, gini domina sobre `entropy` en este problema, consistente con los tres mejores resultados encontrados del Cuadro 5.

### 1.2.2. Comparación de las mejores arquitecturas con particiones diferentes

En esta sección se comparan las tres mejores arquitecturas que se muestran en el Cuadro 5 y se evalúan mediante 10 corridas independientes, generando particiones diferentes para cada corrida manteniendo la proporción definida en la función `'split_dataset'` y calculando diferentes métricas como el F1-Score, `accuracy` y tasa de falsos positivos para todas las evaluaciones. Finalmente se recopiló todos los resultados, y se calculó las medias y desviaciones estándar de cada una de las arquitecturas y sus corridas.

Para poder lograr el objetivo de esta sección se guardaron los resultados de las tres mejores arquitecturas en una lista para su uso posterior, este contenía los parámetros, posición y F1-Score de cada una de las arquitecturas. Después se definió la función `'evaluate_dt_architecture_multiple_runs'` la cual va a estar encargada de:

- Recibir los parámetros de la arquitectura a evaluar necesarias para la función `'DecisionTreeClassifier'` de Scikit Learn así como el número de corridas a realizar por arquitectura y semillas si es necesario para reproducibilidad.
- Se itera sobre el número de corridas y se generan las nuevas particiones por medio de la función `'split_dataset'`

- Se entrena el arbol de decision con los parametros recibidos y las nuevas particiones
- Se generan las predicciones por medio de la particion de prueba
- Se evalua y se obtiene el F1-Score Macro, F1-Score por clase, accuracy y tasa de falsos positivos para todas las evaluaciones, siendo estos guardados en una lista individualmente
- Se retorna un diccionario con los resultados de las metricas calculadas como numero de corridas, parametros, todos los F1-Score, accuracy, tasa de falsos positivos y matriz de confusion, ademas de las estadisticas como promedio y desviaciones de las metricas generadas.

Las metricas fueron calculadas mediante las funciones de Scikit Learn 'f1\_score', 'accuracy\_score', 'precision\_recall\_fscore\_support' y 'confusion\_matrix'.

Para el calculo de la tasa de falsos positivos se utilizo la formula:

$$FPR = \frac{FP}{FP + TN}$$

Donde FP es el numero de falsos positivos y TN es el numero de verdaderos negativos. Se utilizo la funcion 'confusion\_matrix' de Scikit Learn para obtener la matriz de confusion y calcular los valores de FP y TN.

En los siguientes Cuadros 7, 8 y 9, se muestran las corridas realizadas y sus metricas.

Corrida	F1	Accuracy	FPR
1	0.7639	0.9988	0.0001
2	0.7294	0.9982	0.0001
3	0.7188	0.9982	0.0001
4	0.6905	0.9980	0.0002
5	0.7014	0.9981	0.0002
6	0.7413	0.9983	0.0001
7	0.7452	0.9982	0.0001
8	0.7432	0.9985	0.0001
9	0.8402	0.9984	0.0001
10	0.6797	0.9981	0.0002

Cuadro 7: Resultados – Arquitectura 1

El Cuadro 7 exhibe como la Arquitectura 1 que era la que obtuvo la mejor puntuacion, sigue mejorando un poco mas con estas particiones realizadas, inclusive llegando a obtener un F1-Score de 0.8402, siendo este un mejor resultado al inicial con Optuna que se obtuvo de 0.8092.

Corrida	F1	Accuracy	FPR
1	0.7200	0.9979	0.0002
2	0.7110	0.9978	0.0002
3	0.6552	0.9972	0.0003
4	0.6768	0.9978	0.0002
5	0.6416	0.9981	0.0002
6	0.6390	0.9976	0.0002
7	0.6400	0.9978	0.0002
8	0.6782	0.9977	0.0002
9	0.6988	0.9976	0.0002
10	0.7262	0.9978	0.0002

Cuadro 8: Resultados – Arquitectura 2

Corrida	F1	Accuracy	FPR
1	0.6737	0.9976	0.0002
2	0.6167	0.9974	0.0003
3	0.6483	0.9975	0.0002
4	0.7159	0.9974	0.0002
5	0.7049	0.9977	0.0002
6	0.6719	0.9973	0.0002
7	0.7013	0.9977	0.0002
8	0.6717	0.9972	0.0003
9	0.6704	0.9977	0.0002
10	0.6486	0.9970	0.0003

Cuadro 9: Resultados – Arquitectura 3

En cuanto al Cuadro 8 y 9 al ser arquitecturas encontradas con configuracion identica se tienen resultados similares, en este caso a diferencia de la primera arquitectura no se mejoro su F1-Score inicial de 0.7877.

En general todas las particiones obtuvieron metricas buenas inclusive en casi todos los falsos positivos tienen valores muy bajos y los F1-Score por clase tambien estan cerca de 1, dando a entender que es posible que obtengan pocas falsas detecciones y puedan clasificar en su mayoria correctamente las clases.

Para generar un resumen de todos los resultados y calcular las medias y desviaciones estandar de las metricas se genero una logica en el notebook la cual esta encargada de utilizar todos los resultados guardados previamente de la funcion 'evaluate\_dt\_architecture\_multiple\_runs' que contiene una lista de los resultados de todas las evaluaciones, conteniendo los momentos estadisticos de cada una de las metricas utilizadas para cada corrida por arquitectura, asi como los parametros utilizados para cada corrida. Siguientemente la logica genera una tabla y unos graficos para visualizaion de la distribucion y valores de las medias, ademas de la desviacion estandaar para cada arquitectura y sus corridas para una mejor comparacion.

Arquitectura	F1-macro Media	F1-macro Desviación Estandar	FPR Media	FPR Desviación Estandar
#1	0.7353	0.0431	0.0001	0.0000
#2	0.6787	0.0323	0.0002	0.0000
#3	0.6723	0.0284	0.0002	0.0000

Cuadro 10: Resultados de las Corridas con Particiones Diferentes

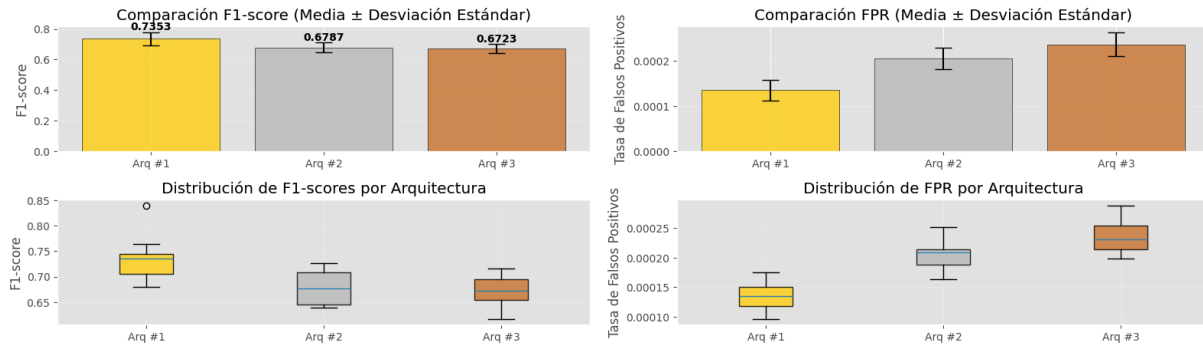


Figura 6: Comparacion de las Arquitectura con Particiones Diferentes

En el Cuadro 10 y la Figura 6 se muestran los resultados generales por arquitectura para todas las 10 corridas realizadas para cada una. En esta se reporta la media y desviación para las metricas que se utilizaron de F1-Score macro y tasa de falsos positivos.

En base al Cuadro 10 y la Figura 6 se pueden generar varias conclusiones de acuerdo a las arquitecturas encontradas:

- La Arquitectura 1 es la que obtiene el mejor F1-Score macro y tasa de falsos positivos. Por ende sigue demostrando que es la mejor arquitectura en comparacion a las otras dos arquitecturas.
- La Arquitectura 2 y 3 al tener los mismos parametros son similares pero tienen una menor desviación en sus resultados dando a entender que son un poco mas estables en sus resultados, la arquitectura 1 parece ser mas dispersa.
- Todas las arquitecturas presentan una tasa de falsos positivos muy baja, siendo este un buen resultado para el problema de detección de intrusos, ya que un aspecto importante es que se tengan pocas falsas detecciones y un sistema de este tipo sea mas robusto.